

ИССЛЕДОВАНИЕ ОТНОСИТЕЛЬНОЙ ЭФФЕКТИВНОСТИ ПЕРЕНОСА ЭНЕРГИИ ВОЗБУЖДЕНИЯ В ПРИМЕСНЫХ МОЛЕКУЛЯРНЫХ КРИСТАЛЛАХ ОТ ОСНОВЫ К ВОЗБУЖДЕННЫМ И НЕВОЗБУЖДЕННЫМ МОЛЕКУЛАМ ПРИМЕСИ

А. С. Аверюшкин, А. Г. Витухновский, Н. Д. Жевандров

УДК 535.373.2

Совместное исследование собственной и сенсибилизированной фосфоренции, а также гетероаннигиляционной замедленной флуоресценции примеси флуорантена в молекулярном кристалле дифенила показало, что эффективность передачи энергии триплетными экситонами на триплетно-возбужденные молекулы примеси значительно больше, чем на невозбужденные.

Примесные кристаллы дифенила с флуорантеном (концентрация 10^{-3} м/м), одновременно обладающие сенсибилизированной фосфоресценцией и замедленной анигиляционной флуоресценцией примеси /1,2/, дают нетривиальную возможность сравнивать эффективность переноса энергии возбуждения триплетными экситонами основы на невозбужденные и триплетно-возбужденные молекулы примеси.

Собственная фосфоресценция примеси флуорантена при ее автономном возбуждении ($\lambda_{ex} = 365$ нм) затухает экспоненциально ($\tau = 0,35$ с). Кривые затухания сенсибилизированной фосфоресценции и замедленной флуоресценции при возбуждении через основу ($\lambda_{ex} = 280$ нм) отличаются от экспоненциальных. Время затухания сенсибилизированной фосфоресценции короче, чем собственной. Замедленная флуоресценция наблюдается только при возбуждении через основу, т.е. является гетероаннигиляционной.

Кривые затухания измерялись при комнатной температуре в разных областях спектра для фосфоресценции ($\lambda_{rad} = 585$ нм) и замедленной флуоресценции ($\lambda_{rad} = 460$ нм) (рис. I). Временной диапазон измерений $10^{-3} - 3$ с. Исследование сенсиби-

лизированной фосфоресценции и замедленной флуоресценции примеси – флуорантина проводилось при возбуждении основы – дифенила импульсами излучения ксеноновой лампы мощностью 250 Вт длительностью 3 с ($\lambda_{ex} = 280$ нм) вблизи максимума спектра поглощения кристалла чистого дифенила [3]. Для измерения кинетики затухания послесвечения применялся метод регистрации отдельных фотонов, попадающих на ФЭУ через монохроматор.

Поток импульсов с формирователя ФЭУ поступал на время-амплитудный преобразователь и затем на аналого-цифровой преобразователь (блоки в стандарте КАМАК). Управление экспериментом и накопление данных обеспечивала мини-ЭВМ "Электроника-60"; затем накопленный массив данных передавался по линии связи на ЭВМ высокого уровня. Кривые затухания накапливались в результате многократного повторения процесса, причем уровень возбуждения поддерживался стабильным.

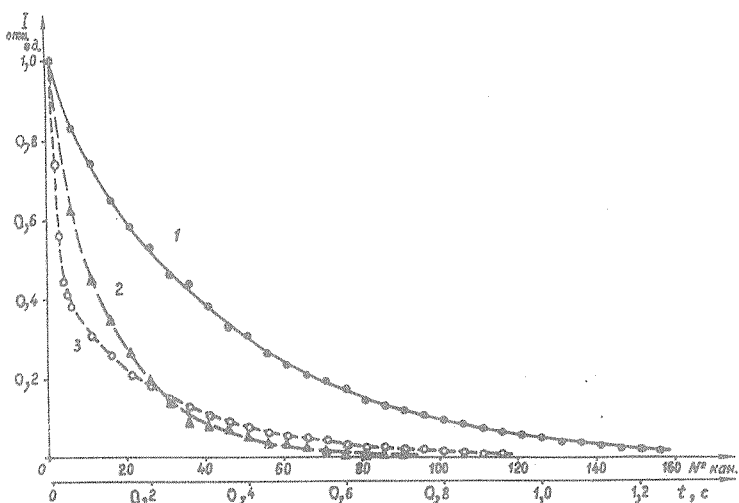


Рис. 1. Кривые затухания собственной фосфоресценции ($\lambda_{ex} = 365$ нм, $\lambda_{rad} = 585$ нм) – 1, замедленной флуоресценции ($\lambda_{ex} = 280$ нм, $\lambda_{rad} = 460$ нм) – 2 и сенсибилизированной фосфоресценции ($\lambda_{ex} = 280$ нм, $\lambda_{rad} = 585$ нм) – 3

К моменту прекращения возбуждения, вследствие переноса энергии от основы как синглетными, так и триплетными экзитонами, в единице объема кристалла оказывалось n триплетно-возбужденных примесных молекул. После прекращения возбуждения передача энергии от основы к примеси осуществляется только триплетными экзитонами. Процесс передачи энергии экзитонами основы молекулам примеси включает три стадии: диффузию экзитона, локализацию экзитона около молекулам примеси и передачу энергии примесной молекуле /4,5/.

По данным /6,7/ собственное время жизни триплетных экзитонов в дилениле $\sim 10^{-4}$ с. За это время триплетные экзитоны успевают пронизуандировать и локализоваться как около невозбужденных, так и триплетно-возбужденных молекул примеси, так как среднее расстояние между молекулами примеси составляет около 10^{-6} см, и диффузионная длина триплетных экзитонов в дилениле $\sim 10^{-4}$ см. Числа невозбужденных и триплетно-возбужденных молекул примеси, около которых локализованы триплетные экзитоны основы, обозначим N_1 и N_2 соответственно.

Вероятности передачи энергии триплетного экзитона примесной молекуле в этих двух случаях обозначим β_1 и β_2 соответственно. Задача состоит в определении соотношения этих величин из экспериментальных кинетических кривых. Процессы затухания сенсибилизированной фосфоресценции и замедленной флуоресценции могут быть описаны следующей системой кинетических уравнений:

$$\frac{dn}{dt} = - n/\tau + \beta_1 N_1 - \beta_2 N_2, \quad (1)$$

$$\frac{dN_1}{dt} = - \beta_1 N_1 + N_2/\tau, \quad (2)$$

$$\frac{dN_2}{dt} = - \beta_2 N_2 - N_2/\tau. \quad (3)$$

В начальный момент, после прекращения оптического возбуждения основы ($t = 0$) : $n(t)|_{t=0} = n_0$; $N_1(t)|_{t=0} = N_1^0$; $N_2(t)|_{t=0} = N_2^0$. В уравнении (1) $\beta_1 N_1$ - прибыль триплетно-возбужденных молекул примеси вследствие передачи энергии от основы; $\beta_2 N_2$ - убыль триплетно-возбужденных молекул вследствие гетероаннигиляции.

Уравнение (2) описывает изменение числа невозбужденных молекул примеси, около которых локализованы экситоны основы, а уравнение (3) – числа возбужденных молекул. Член $-N_2/\tau$ описывает убыль за счет высвечивания возбужденных молекул; при этом такие пары переходят в разряд N_1 , и поэтому член N_2/τ добавлен в уравнении (2).

Аналитическое решение системы уравнений (1), (2), (3) описывает изменение числа возбужденных молекул примеси с учетом процессов сенсибилизации и аннигиляции, т.е. процесс сенсибилизированной фосфоресценции.

Для удобства сравнения с экспериментальной кривой решение преобразовывалось к виду:

$$Y(\tilde{t}) = \left\{ 1 + R_1 \frac{(1 - e^{-RD\tilde{t}})}{(D - RD + 1)} - R_1 \frac{RD[1 - e^{-(D+1)\tilde{t}}]}{(D - RD + 1)(D + 1)} + \right. \\ \left. + R_2(1 - e^{-RD\tilde{t}}) - R_1(1 - e^{-D\tilde{t}}) \right\} e^{-\tilde{t}}, \quad (4)$$

где $\tilde{t} = t/\tau$; $Y(\tilde{t}) = n(\tilde{t})/n_0$; $R = \beta_1/\beta_2$; $R_1 = N_1^0/n_0$; $R_2 = N_2^0/n_0$; $D = \tau\beta_2$. Значение τ определялось по кривой затухания собственной фосфоресценции (кривая I, рис. I). Значение β_2 и параметры R , R_1 , R_2 варьировались с целью получения наилучшего совпадения расчетной кривой с экспериментальной. Вариации параметров расчетной кривой и приведение ее к экспериментальной проводились на ЭВМ по методу наименьших квадратов. Минимум суммы квадратов отклонений расчетной кривой от экспериментальной получен для единственного набора параметров: $R = 0,5$; $R_1 = 0,8$; $R_2 = 0,96$; $D = 43$. Если бы гетероаннигиляция приводила к замедленной флуоресценции с выходом равным I, то величина β_2 равнялась бы $1/\tau_{del}$ (τ_{del} – характерное время затухания замедленной флуоресценции – кривая 2 на рис. I). В реальности это конечно не так, и $\beta_2 > 1/\tau_{del}$ поэтому величина $1/\tau_{del}$ дает только нижний предел, от которого проводилась вариация. Удовлетворительное согласие расчетной кривой с усредненной экспериментальной кривой затухания сенсибилизированной фосфоресценции флуорантина в дифениле показано на рис. 2. Таким образом, сравнение расчета с экспериментом показывает, что β_2 – вероятность передачи энергии возбуждения от локализованного экситона на

триплетно-возбужденную молекулу примеси в 2 раза больше, чем β_1 — вероятность переноса энергии от локализованного экситона на невозбужденную молекулу примеси. Кроме того, сравнение N_2^0 и N_1^0 (параметры R_1 и R_2) показывает, что и степень локализации триплетных экситонов основы около возбужденных примесных молекул примерно на порядок выше, чем около невозбужденных.

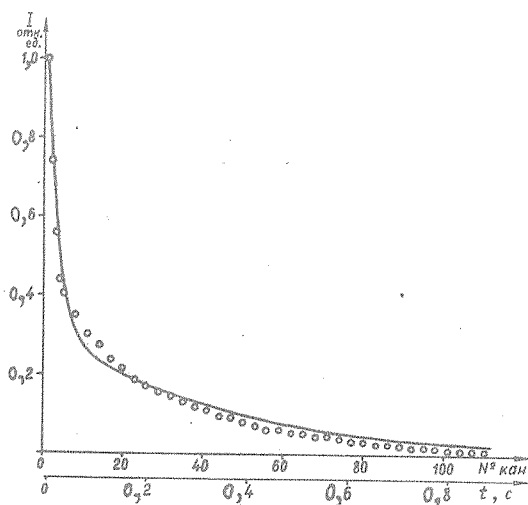


Рис. 2. Сравнение экспериментальных данных с расчетной кривой затухания сенсибилизированной фосфоресценции флуорантена в диоксиле ($\lambda_{\text{ex}} = 280 \text{ нм}$, $\lambda_{\text{rad}} = 585 \text{ нм}$)

Полученный результат представляет некоторый общий интерес. Известна парадоксальная ситуация: у молекулярных кристаллов крайне редко обнаруживается фосфоресценция, в том числе у тех, молекулы которых в жестких некристаллических средах этой фосфоресценцией обладают. Причину этого обычно связывают с отсутствием локализации триплетных возбуждений, с наличием в кристаллах триплетных экситонов. За длительное время жизни триплетных

экситонов они имеют большую вероятность потушиться на поверхности кристалла и дефектах решетки, а также попарно проаннигирировать, породив замедленную флуоресценцию. Полученные в данной работе результаты о большей вероятности переноса энергии на тринаплектически-возбужденную молекулу говорят в пользу такого объяснения отсутствия фосфоресценции в молекулярных кристаллах.

Авторы выражают благодарность Б. Л. Пителю за помощь в работе.

Поступила в редакцию
21 июня 1982 г.

Л и т е р а т у р а

1. Н. Д. Жевандров, Т. В. Ильиных; Изв. АН СССР, сер. физ., 42, 334 (1978).
2. А. С. Аверкин и др., Изв. АН СССР, сер. физ., 44, 774 (1980).
3. Yasukiho Gondo, J. Chem. Phys., 32, 3928 (1964).
4. А. М. Бонч-Бруевич и др., Оптика и спектроскопия, II, 623 (1961).
5. В. П. Ковалев и др., Изв. АН СССР, сер. физ., 27, 524 (1963).
6. J. P. Laporte et al., Chem. Phys. Lett., 51, 561 (1977).
7. J. P. Laporte, F. Poussot, J. Mol. Struct., 45, 451 (1978).